

·基础研究·

本文引用:谢赛飞,谭 劲,郑 玲,朱可可,周领航,陈 明. 扶正活血解毒方通过 Wnt/β-catenin 信号通路对口腔黏膜下纤维化的调控作用[J]. 湖南中医药大学学报, 2020, 40(11): 1305–1309.

扶正活血解毒方通过 Wnt/β-catenin 信号通路对口腔黏膜下纤维化的调控作用

谢赛飞, 谭 劲*, 郑 玲, 朱可可, 周领航, 陈 明

(湖南中医药大学第一附属医院, 湖南 长沙 410007)

[摘要] 目的 探索扶正活血解毒方对槟榔碱提取物(areca nut extract, ANE)诱导的口腔黏膜下纤维化(oral submucous fibrosis, OSF)Wnt/β-catenin 信号通路的作用机制。方法 体外培养大鼠口腔黏膜上皮细胞(epithelial cell, EC), 分为正常组、模型组、中药高/中/低剂量组和 IWR-1 组。以 ANE 为诱导剂, 扶正活血解毒方含药血清为干预药物, 以 Wnt/β-catenin 信号通路抑制剂 IWR-1 为阳性对照物, 采用 CCK8 检测 EC 细胞增殖; PCR 检测 Wnt1、β-catenin、Axin、cylinD1 基因的表达; Western blot 检测 Wnt1、β-catenin、Axin、cylinD1 蛋白的表达。结果 与正常组相比, 模型组 EC 增殖水平提高, Wnt1、β-catenin、cylinD1 基因及蛋白表达增加, Axin 基因及蛋白表达降低($P<0.05$); 与模型组相比, 中药高、中剂量组 EC 增殖水平降低, Wnt1、β-catenin、cylinD1 基因及蛋白表达降低, Axin 基因及蛋白表达升高($P<0.05$); 与模型组相比, IWR-1 组 EC 增殖水平降低, Wnt1、β-catenin、cylinD1 基因及蛋白表达降低, Axin 基因及蛋白表达升高($P<0.05$)。结论 扶正活血解毒方可通过调控 Wnt/β-catenin 信号通路, 抑制 ANE 刺激的 EC 增殖, 逆转 OSF 癌前病变的形成。

[关键词] 口腔黏膜下纤维化; 槟榔碱提取物; 扶正活血解毒; Wnt/β-catenin 信号通路

[中图分类号] R285.5

[文献标志码] A

[文章编号] doi:10.3969/j.issn.1674-070X.2020.11.001

Regulating Effect of Fuzheng Huoxue Jiedu Prescription on Oral Submucosal Fibrosis Through Wnt/β-catenin Signaling Pathway

XIE Saifei, TAN Jin*, ZHEN Ling, ZHU Keke, ZHOU Linghang, CHEN Ming

(The First Affiliated Hospital of Hunan University of Chinese Medicine, Changsha, Hunan 410007, China)

[Abstract] **Objective** To explore the mechanism of Fuzheng Huoxue Jiedu Prescription on Wnt/β-catenin signaling pathway induced by areca nut extract (ANE) in oral submucosal fibrosis. **Methods** The rat oral mucosa epithelial cells (ECs) cultured in vitro were assigned into a normal group, a model group, a Chinese materia medica high, medium and low dose group, a IWR-1 group. ANE was inducer, and Fuzheng Huoxue Jiedu Prescription-containing serum was intervention medicine. Wnt/β-catenin signaling pathway inhibitor IWR-1 was the positive control medicine. The CCK8 was used to test EC cell proliferation; PCR was used to detect Wnt1, β-catenin, Axin, cylinD1 gene expression; Western Blot was used to detect Wnt1, β-catenin, Axin, cylinD1 protein expression. **Results** Compared with the normal group, ECs proliferation levels of the model group increased, and Wnt1, β-catenin, cylinD1 gene and protein expression increased. Axin gene and protein expression decreased ($P<0.05$); Compared with model group, ECs proliferation levels of Chinese materia medica high and medium dose groups were reduced, and Wnt1, β-catenin, cylinD1 gene and protein expression were reduced. Axin gene and protein expression increased ($P<0.05$); Compared with the model group, ECs proliferation level of the IWR-1 group was reduced, and Wnt1, β-catenin, cylinD1 gene and protein expression were reduced.

[收稿日期] 2020-06-15

[基金项目] 国家自然科学基金项目(81874496); 湖南省中医药管理局课题(201808); 湖南中医药大学研究生创新课题(2019CX73)。

[作者简介] 谢赛飞, 女, 在读硕士研究生, 研究方向: 口腔黏膜病防治研究。

[通讯作者]* 谭 劲, 男, 教授, 博士研究生导师, E-mail: tanjinhn@aliyun.com。

Axin gene and protein expression increased ($P<0.05$). **Conclusion** Fuzheng Huoxue Jiedu Prescription can inhibit the proliferation of EC cells stimulated by ANE, and reverse the formation of OSF precancerous lesions through regulating Wnt/β-catenin signaling pathway.

[Keywords] oral submucosal fibrosis; areca nut extract; Fuzheng Huoxue Jiedu; Wnt/β-catenin signal pathway

口腔黏膜下纤维化或称口腔黏膜下纤维性变(oral submucous fibrosis, OSF)是一种口腔黏膜潜在恶性疾病^[1-2]。其癌变率高达7%,WHO将OSF列为癌前状态^[3]。流行病学调查表明,咀嚼槟榔是OSF主要的致病因素,但癌变机制尚不清楚,可能与槟榔的致癌成分槟榔碱、细胞因子、创伤及细胞免疫等关系密切^[4-5],尤其认为某些细胞因子参与了OSF的癌变过程,其中以Wnt与TGF-β1介导的信号通路最具代表性^[6-8]。如何阻断TGF-β与Wnt信号通路细胞因子间的联系,将成为防治OSF癌变的关键。前期研究发现扶正活血解毒中药通过调控TGF-β1/Smads信号转导通路能具有抑制槟榔碱提取物(areca nut extract, ANE)刺激的EC细胞增殖的作用^[9-11]。本研究将从Wnt/β-catenin信号转导通路的角度探讨扶正活血解毒方对OSF癌前病变的作用机制,为临床OSF癌变的防治提供新的实验依据。

1 材料与方法

1.1 材料

1.1.1 实验细胞 口腔黏膜上皮细胞(epithelial cell, EC)购自于中国上海赛百康生物技术股份有限公司。收到细胞后,选择相差显微镜对细胞进行鉴定,镜下细胞为多角形,胞核大,培养皿中细胞铺满的位置显微镜下可见铺路石状。高倍镜下未见成纤维细胞。

1.1.2 实验药物 (1)槟榔提取物(ANE)购于深圳润慧生物科技有限公司。(2)扶正活血解毒方所用药物为颗粒剂,由广东三九制药有限公司生产,由湖南中医药大学第一附属医院药剂科提供。具体组方规格如下:丹参10 g,玄参10 g,当归10 g,红花5 g,生地黄10 g,白花蛇舌草10 g,夏枯草10 g,生黄芪10 g,薄荷10 g,白芍10 g,茵陈10 g,桔梗10 g。克数为生药剂量,为同一批次同一产地药材。将以上中药按处方量取14剂,一剂生药(共115 g)加入500 mL温开水冲泡并充分搅拌,使用水煎浓缩的方法将药物浓缩成500 mL液体,生药浓度为0.23 g/mL,药物现配现用。

1.1.3 含药血清 8周龄SPF级雄性SD大鼠20只由

湖南中医药大学动物实验室提供,在SPF条件下适应性饲养1周。将大鼠随机分为正常组、中药高剂量组、中药中剂量组和中药低剂量组4组,每组5只,其中正常组以0.9%生理盐水组灌胃8 mL/只,中药高、中、低剂量组分别按照扶正活血解毒方12、8、4 mL/kg灌胃[中药低、中、高剂量大鼠灌胃量按照成人每日用量的1、2、3倍定为等效剂量(正常成人体质量按60 kg进行换算)],每日2次,连续灌胃7 d。大鼠末次灌胃1 h后,行心脏取血,4 °C、1 500 r/min离心10 min,取上清56 °C灭活30 min,将灭活后的血清通过0.22 μm滤器过滤除菌,配置成完全培养基备用^[12-13]。

1.1.4 主要试剂 大鼠口腔黏膜上皮细胞完全培养液(上海赛百康生物技术股份有限公司,批号RATi-CELLM013);胰酶(美国Hyclone,批号SH30042.01);

2.24 μg/mL Dispase II酶(美国Gibco,批号25200-027);PBS(美国Hyclone,批号SH30256.01B);CCK8增殖检测试剂盒(日本DOJINDO,批号CK04);逆转录试剂盒(中国北京康为世纪,批号CW2569);Power SYBR Green PCR Master Mix试剂盒(日本TOYO-OBO,批号QPK-201);引物由Genecopoeia合成;Wnt1抗体(英国Abcam,批号ab15251);β-catenin抗体(英国Abcam,批号ab32572);Axin2抗体(英国Abcam,批号ab32197);cylinD1抗体(英国Abcam,批号ab251892);IWR-1(美国MCE,批号HY-12238);羊抗兔二抗(英国Abcam,批号ab6747);显色液(美国Cyanagen,批号23423)。

1.1.5 主要仪器 全自动化学发光免疫分析仪(美国贝克曼库尔特有限公司,型号UniCelDxI 800);Nanno Drop分光光度计(美国赛默飞世尔科技公司,型号NDoneC);基因扩增仪(美国MjRE-SEARCH公司,型号TTC-220);离心机(中国湖南湘仪,型号H1650R);Motic显微镜(成贵仪器上海有限公司,型号BA210T);酶标仪[美谷分子仪器(上海)有限公司,型号SpectraMax M4]。

1.2 方法

1.2.1 细胞分组及培养 分离培养的细胞增殖至对

数期,将细胞分为正常组、模型组、中药高剂量组、中药中剂量组、中药低剂量组、IWR-1组6组。其中正常组以正常大鼠血清干预,模型组以正常大鼠血清+50 μg/mL ANE干预,中药高、中、低剂量组分别以高、中、低剂量含药血清+50 μg/mL ANE干预,IWR-1组以正常大鼠血清+5 μmol/L IWR-1。

1.2.2 CCK8 检测 EC 细胞增殖 将6组细胞按 $10^5/\text{mL}$ 浓度接种于96孔板中,每孔 $100 \mu\text{L}$,共铺5板,检测时间为12、24、36、48 h 4个时间点,在检测前2 h加入CCK8 $10 \mu\text{L}/\text{孔}$, 37°C 5% CO_2 继续培养至检测时间点,取出培养板,放置于酶标仪中, 450 nm 和 600 nm 双波长检测并读数^[14-15]。

1.2.3 PCR 检测 Wnt1、β-catenin、Axin、cylinD1 基因的表达 将6组细胞按 $10^5/\text{mL}$ 浓度接种于T25培养瓶中,培养至细胞长满培养瓶,将其消化、离心、弃上清留存细胞。以RNA提取试剂盒提取细胞RNA,具体操作步骤根据试剂盒中的使用说明进行。RNA提取后,通过逆转录试剂盒将其逆转录为cDNA,具体操作步骤根据逆转录试剂盒说明书进行。再根据反应体系将cDNA与SYBR溶液配比,进行PCR操作,并读取mean CT值和 $\Delta\Delta\text{CT}$ 值。

1.2.4 Western blot 检测 Wnt1、β-catenin、Axin、cylinD1 蛋白的表达 将6组细胞按 $10^5/\text{mL}$ 浓度接种于T25培养瓶中,培养至细胞长满培养瓶,将其消化、离心、弃上清留存细胞。将细胞中加入RIPA裂解液充分裂解后离心吸取上清,以BCA蛋白浓度试剂盒测量蛋白浓度后加入蛋白上样缓冲液, 100°C 水浴加热5 min。根据蛋白分子量配置凝胶并电泳、转膜、孵抗体、显色,并读取灰度值。

1.2.5 统计学方法 采用SPSS 20.0软件进行统计分析,数据呈正态分布者采用单因素ANOVA分析,数据非正态者采用非参检验,以 $P<0.05$ 为差异有统计学意义。

2 结果

2.1 CCK8 检测结果

与正常组相比,模型组EC增殖被抑制,差异具有统计学意义($P<0.05$);与模型组相比,中药高、中剂量组和IWR-1组均促进EC细胞增殖水平,差异均有统计学意义($P<0.05$)。详见表1。

表1 CCK8检测各组细胞增殖情况

组别	12 h	24 h	36 h	48 h
正常组	2.95±0.08	3.28±0.08	3.38±0.07	3.68±0.10
模型组	2.48±0.05*	2.56±0.08*	2.47±0.08*	2.66±0.10*
中药高剂量组	2.74±0.07 [#]	2.97±0.10 [#]	3.02±0.08 [#]	3.23±0.10 [#]
中药中剂量组	2.61±0.02 [#]	2.90±0.05 [#]	2.89±0.05 [#]	3.18±0.10 [#]
中药低剂量组	2.59±0.09	2.62±0.06	2.59±0.06*	2.77±0.08*
IWR-1组	2.89±0.08 [#]	3.02±0.09 [#]	2.99±0.10 [#]	3.39±0.11 [#]

注:与正常组相比,* $P<0.05$;与模型组相比,[#] $P<0.05$

2.2 PCR 检测结果

与正常组相比,模型组Wnt1、β-catenin、cylinD1基因的表达量增高,Axin基因表达量降低,差异具有统计学意义($P<0.05$);与模型组相比,中药高、中剂量组和IWR-1组的Wnt1、β-catenin、cylinD1基因的表达量均降低,Axin基因表达量均升高,差异均有统计学意义($P<0.05$)。详见表2。

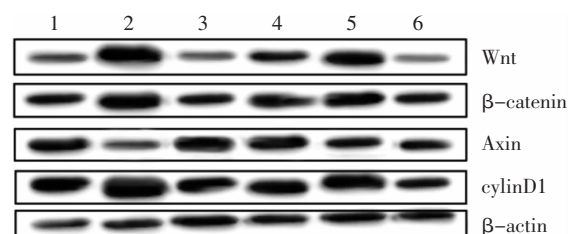
表2 PCR检测各组细胞Wnt1、β-catenin、Axin、cylinD1基因的表达

组别	Wnt1	β-catenin	Axin	cylinD1
正常组	1.59±0.08	0.82±0.08	1.68±0.11	2.15±0.07
模型组	2.85±0.11*	1.60±0.04*	1.00±0.07*	3.84±0.08*
中药高剂量组	1.77±0.08 [#]	1.00±0.04 [#]	1.31±0.03 [#]	2.55±0.10 [#]
中药中剂量组	2.48±0.04 [#]	1.29±0.08 [#]	1.10±0.06 [#]	2.96±0.10 [#]
中药低剂量组	2.61±0.10*	1.32±0.06*	1.01±0.10*	3.48±0.08*
IWR-1组	1.57±0.09 [#]	0.86±0.09 [#]	1.66±0.10 [#]	2.34±0.04 [#]

注:与正常组相比,* $P<0.05$;与模型组相比,[#] $P<0.05$

2.3 Western blot 检测结果

与正常组相比,模型组Wnt1、β-catenin、cylinD1蛋白的表达量增高,Axin蛋白表达量降低,差异具有统计学意义($P<0.05$);与模型组相比,中药高、中剂量组和IWR-1组的Wnt1、β-catenin、cylinD1蛋白的表达量均降低,Axin蛋白表达量均升高,差异均有统计学意义($P<0.05$)。详见图1、表3。



注:1.正常组;2.模型组;3.中药高剂量组;4.中药中剂量组;5.中药低剂量组;6.IWR-1组

图1 Western blot检测各组细胞Wnt1、β-catenin、Axin、cylinD1蛋白的表达

表3 各组中Wnt1、 β -catenin、cyclinD1、Axin蛋白表达的变化($\bar{x}\pm s$, n=6)

项目	正常组	模型组	中药低剂量组	中药中剂量组	中药高剂量组	IWR-1组
actin	117.63±5.14	115.08±4.31	119.70±4.56	120.21±0.09	121.03±3.06	118.13±4.19
Wnt1	68.56±3.98	102.58±4.39*	100.02±3.23	88.42±1.91#	77.69±1.56#	69.98±3.14#
Wnt1/actin	0.58±0.04	0.89±0.08*	0.84±0.06*	0.74±0.05#	0.64±0.08#	0.59±0.02#
β -catenin	54.51±3.25	98.26±2.89*	84.73±3.04*	79.55±3.21#	68.73±2.89#	58.45±1.69#
β -catenin/actin	0.46±0.05	0.85±0.06*	0.71±0.05*	0.66±1.89#	0.57±0.03#	0.49±0.09#
Axin	83.67±2.56	35.54±1.98*	67.24±2.38	100±2.25#	110.97±3.42#	128.65±3.12#
AXIN/actin	0.71±0.04	0.31±0.02*	0.56±0.03*	0.83±0.09#	0.92±0.06#	1.09±0.07#
Cyclin D1	64.45±1.75	104.73±3.79*	93.40±2.93*	88.62±1.25#	83.99±2.43#	68.56±1.03#
Cyclin D1/actin	0.55±0.03	0.91±0.07*	0.78±0.05*	0.74±0.06#	0.69±0.04#	0.58±0.03#

注:与正常组相比,*P<0.05;与模型组相比,#P<0.05

3 讨论

OSF发病率高,且癌变率目前也有所增高。OSF的发病与多种因素有关,目前研究较多的是槟榔中的致癌成分槟榔碱,以及机体自身的免疫因子和通路,其中Wnt信号通路较为经典。Wnt信号传导通路有以下主要的分支:(1)Wnt/ β -catenin通路;(2)WNT-Ca²⁺通路;(3)细胞极性通路。其中,Wnt/ β -catenin通路是经典的、主要的传导通路,本文探讨的为该信号通路。

Wnt/ β -catenin信号通路是一个由多种分子参与、相互影响及制约的复杂的信号转导系统,对细胞增殖和分化具有重要调节作用,Axin蛋白是Wnt信号通路中为一个重要的构形蛋白,它串联起腺瘤病大肠杆菌蛋白(adenomatosis polyposis coli, APC)、 β -连环蛋白(β -catenin)、糖原合成酶激酶3 β (glycogen synthase kinase-3 β , GSK-3 β)蛋白形成一个复合体,在正常情况下,这个复合体可使 β -catenin磷酸化后被相关酶降解。但在异常情况下,Wnt配体-受体复合物抑制APC、 β -catenin、GSK-3 β 降解复合体的稳定性,使 β -catenin降解障碍,胞浆内游离的 β -catenin聚集,在细胞质中达到一定浓度后进入细胞核,与转录因子相互作用,激活Wnt/ β -catenin信号通路使得下游癌基因表达增加。其中cyclinD1是Wnt信号通路的一个下游基因,为细胞G1/S期的特异性周期蛋白,主要功能是刺激细胞增殖,其过度表达可以导致细胞失控,从而导致细胞癌变。

本试验通过体外培养EC细胞,以CCK8检测EC细胞的增殖,以PCR检测Wnt1、 β -catenin、Axin、cyclinD1基因的表达,以Western blot检测Wnt1、 β -catenin、Axin、cyclinD1蛋白的表达。其检测结果可

见,模型组加入ANE后,EC细胞的增殖水平明显提高,且ANE促进了Wnt1、 β -catenin、cyclinD1基因和蛋白的表达,降低了Axin基因和蛋白的表达。中药高、中剂量组下调了EC细胞的增殖水平,且下调了Wnt1、 β -catenin、cyclinD1基因及蛋白的表达,上调了Axin基因和蛋白的表达,高剂量组下调水平优于中剂量组,中剂量组优于低剂量组,呈现一定的药物量效关系。IWR-1组通过阻断Wnt/ β -catenin信号通路,从而降低了EC细胞的增殖水平,下调了Wnt1、 β -catenin、cyclinD1基因及蛋白的表达,上调了Axin基因和蛋白的表达。

中药具有疗效可靠、靶点多、无副作用而且来源广泛等优点。谭劲教授在古方桃红四物汤的基础上加减选用,由丹参、玄参、当归、红花、生地黄、白花蛇舌草、夏枯草、生黄芪、薄荷、白芍、茵陈、桔梗十二味中药制成扶正活血解毒方。方中丹参、当归、红花活血化瘀;生黄芪、白芍益气扶正;生地黄、玄参、茵陈、薄荷养阴清热;白花蛇舌草、夏枯草解毒散瘀;桔梗化痰散结。现代药理研究也表明,白花蛇舌草、夏枯草具有抗癌、增强免疫、抑制炎症因子的作用,桔梗祛痰效果显著^[16-18]。全方诸药合用,共奏扶正活血、祛瘀解毒之功。

从本实验结果可以看出,ANE能够促进EC细胞的增殖,也可以激活Wnt/ β -catenin信号通路,促进相关基因及蛋白的表达,说明咀嚼槟榔可能是通过激活Wnt/ β -catenin信号通路进而促进了OSF的发生。扶正活血解毒方能够抑制Wnt/ β -catenin信号通路,降低EC细胞的增殖。IWR-1组通过加入Wnt/ β -catenin信号通路抑制剂IWR-1抑制了该信号通路,降低了Wnt1、 β -catenin、cyclinD1基因及蛋白的表达,上调了Axin基因和蛋白的表达,中药组

与IWR-1组在Wnt1、β-catenin、Axin、cylinD1基因及蛋白的表达上无明显差异。这表明中药扶正活血解毒方是通过抑制Wnt/β-catenin信号通路,从而降低EC细胞增殖产生疗效。

综上所述,本研究从Wnt/β-catenin信号转导通路的角度探索了扶正活血解毒方的起效机制,该结果为其临床疗效提供了理论依据,同时也为临床OSF癌变的防治提供新的实验依据。然而本实验尚存在一定的不足,在探索扶正活血解毒方对OSF的影响时,未增加在体动物实验以及临床试验作为理论支持,这也是我们课题组后期的研究方向。

参考文献

- [1] 黄琰,高义军,尹晓敏.口腔黏膜下纤维性变及其癌变组织中Survivin、c-myc的表达[J].实用口腔医学杂志,2008,24(3):448-449.
- [2] 邵小钧,席庆.食用槟榔及其与口腔癌间的关系[J].国际口腔医学杂志,2015,42(6):668-672.
- [3] HALLIKERI K, NAIKMASUR V, GUTTAL K, et al. Prevalence of oral mucosal lesions among smokeless tobacco usage: A cross-sectional study[J]. Indian Journal of Cancer, 2018, 55(4): 404-409.
- [4] SU S C, CHANG L C, LIN C W, et al. Mutational signatures and mutagenic impacts associated with betel quid chewing in oral squamous cell carcinoma[J]. Human Genetics, 2019, 138(11/12): 1379-1389.
- [5] CHATTOPADHYAY I, VERMA M, PANDA M. Role of oral microbiome signatures in diagnosis and prognosis of oral cancer [J]. Technology in Cancer Research & Treatment, 2019, 18: 1533033819867354.
- [6] NOGUTI J, DE MOURA C F, HOSSAKA T A, et al. The role of canonical WNT signaling pathway in oral carcinogenesis: A comprehensive review[J]. Anticancer Research, 2012, 32(3): 873-878.
- [7] PALUSZCZAK J, SARBAK J, KOSTRZEWSKA-POCZEKAJ M, et al. The negative regulators of Wnt pathway-DACH1, DKK1, and WIF1 are methylated in oral and oropharyngeal cancer and WIF1 methylation predicts shorter survival[J]. Tumour Biology: the Journal of the International Society for Oncodevelopmental Biology and Medicine, 2015, 36(4): 2855-2861.
- [8] KATASE N, LEFEUVRE M, TSUJIGIWA H, et al. Knockdown of Dkk-3 decreases cancer cell migration and invasion independently of the Wnt pathways in oral squamous cell carcinoma derived cells[J]. Oncology Reports, 2013, 29(4): 1349-1355.
- [9] JI Q, LIU X, HAN Z F, et al. Resveratrol suppresses epithelial-to-mesenchymal transition in colorectal cancer through TGF-β1/Smads signaling pathway mediated Snail/E-cadherin expression[J]. BMC Cancer, 2015, 15: 97.
- [10] 顾红兵,李继坤.TGF-β/Smads信号通路与胃癌关系研究进展[J].现代生物医学进展,2010,10(3):574-577.
- [11] KI K D, TONG S Y, HUH C Y, et al. Expression and mutational analysis of TGF-beta/Smads signaling in human cervical cancers[J]. Journal of Gynecologic Oncology, 2009, 20(2): 117-121.
- [12] 王者令,刘中景,宋霆,等.扶正活血不同组方大鼠含药血清对HSC-T6增殖的影响[J].中国中医基础医学杂志,2010,16(11):1050-1051.
- [13] 罗玉姣,岳金宝,吴丹,等.扶正活血解毒方干预ANE诱导口腔黏膜成纤维细胞I型胶原表达的实验研究[J].湖南中医药大学学报,2017,37(12):1308-1311.
- [14] 贾鹏宇.CCK8法检测杏丁联合吡柔比星对膀胱原代癌细胞的增值抑制作用[D].桂林:桂林医学院,2012.
- [15] 刘素贞,曹晓敏,许丽娟,等.应用CCK8法检测鸡淋巴细胞活性的检测最佳条件研究[J].黑龙江畜牧兽医,2017(7):212-214.
- [16] 王静,彭解英.口腔黏膜下纤维化的易感性研究[J].口腔医学研究,2005,21(5):581-582.
- [17] 谭劲,李元聪,陈安.丹参口康治疗口腔粘膜下纤维化的临床研究[J].湖南中医药大学学报,2006,26(5):41-43.
- [18] 冯春来,袁颖,张海生,等.夏枯草抗肿瘤分子协同作用网络分析[J].中成药,2016,38(9):2003-2012.

(本文编辑 匡静之)